



HAL
open science

Recherche à divergences pour le flow shop hybride avec tâches multiprocesseurs

Asma Lahimer, Pierre Lopez, Mohamed Haouari

► **To cite this version:**

Asma Lahimer, Pierre Lopez, Mohamed Haouari. Recherche à divergences pour le flow shop hybride avec tâches multiprocesseurs. 2010. hal-00542323

HAL Id: hal-00542323

<https://hal.science/hal-00542323v1>

Preprint submitted on 2 Dec 2010

HAL is a multi-disciplinary open access archive for the deposit and dissemination of scientific research documents, whether they are published or not. The documents may come from teaching and research institutions in France or abroad, or from public or private research centers.

L'archive ouverte pluridisciplinaire **HAL**, est destinée au dépôt et à la diffusion de documents scientifiques de niveau recherche, publiés ou non, émanant des établissements d'enseignement et de recherche français ou étrangers, des laboratoires publics ou privés.

Recherche à divergences pour le flow shop hybride avec tâches multiprocesseurs

Asma LAHIMER¹, Pierre LOPEZ¹, Mohamed HAOUARI²

¹CNRS; LAAS; 7 avenue du colonel Roche, F-31077 Toulouse, France
Université de Toulouse; UPS, INSA, INP, ISAE; LAAS; F-31077 Toulouse, France
asma.lahimer@laas.fr, pierre.lopez@laas.fr

²INSAT; Institut National des Sciences Appliquées et de Technologie
Centre Urbain Nord BP 676 - 1080 Tunis Cedex, Tunisie
mohamed.haouari@ozyegin.edu.tr

Résumé

Cet article concerne la résolution d'un problème d'ordonnement de type flowshop hybride avec tâches multiprocesseurs. Le critère à optimiser est le makespan. Nous proposons une méthode de recherche arborescente à base de divergences pour le résoudre. La méthode est évaluée sur des jeux-tests en mesurant son pouvoir de résolution exacte ou l'écart à une borne. Une étude comparative est également menée avec d'autres méthodes de la littérature. Les résultats obtenus prouvent l'efficacité de notre approche notamment sur les grandes instances.

Mots-clés

Ordonnement, flow shop multiprocesseur, recherche à divergences.

I. INTRODUCTION

La résolution du problème de flow shop hybride avec tâches multiprocesseurs est un problème complexe d'ordonnement. D'un point de vue théorique, il s'agit d'étudier une généralisation d'un problème d'atelier à cheminement unique (flow shop) et un cas particulier du problème d'ordonnement de projet à moyens limités (RCPSP). Son étude est donc tout d'abord justifiée par une forte complexité théorique puisque le problème est NP-complet. D'un autre côté, ses champs d'application sont divers et nombreux, dans le domaine industriel et les systèmes de calcul; un cas d'application privilégiée se rencontre dans les systèmes de vision temps réel.

Le problème du flow shop hybride avec tâches multiprocesseurs est résolu dans la littérature par différentes approches (algorithme génétique [6], recherche tabou, colonies de fourmis [10]). Motivés par l'efficacité des méthodes de recherche à base de divergences sur les problèmes d'ateliers avec flexibilité sur les ressources, notamment les problèmes de flow shop hybride [3], nous proposons dans cette communication d'adapter ce type d'approche pour résoudre le problème plus général avec tâches multiprocesseurs.

II. DÉFINITION DU PROBLÈME

Le flow shop hybride multiprocesseur combine les propriétés des problèmes de type flow shop, machines parallèles et cumulatif. Formellement, le problème du flow shop hybride (FSH) avec tâches multiprocesseurs se définit

comme un ensemble $\mathbf{J}=\{1, 2, \dots, n\}$ de n jobs et un ensemble $\mathbf{M}=\{1, 2, \dots, m\}$ de m étages. Le problème étudié consiste en l'ordonnement de ces n jobs composés de m opérations (une par étage). Chaque étage $\mathbf{i}=\{1, 2, \dots, m\}$ est constitué d'un ensemble de m_i processeurs parallèles et identiques. A un étage i , le job j requiert $size_{ij}$ processeurs simultanément. Donc, $size_{ij}$ machines sont affectées à un job j au niveau de l'étage i , et assurent son traitement pendant une période de temps p_{ij} . La fonction objectif considérée est la minimisation de la durée totale d'ordonnement (*makespan*). Le problème est noté : $Fm(m_1, \dots, m_m) | size_{ij} | C_{max}$.

III. MÉTHODE PROPOSÉE

A. Recherche à divergences

Harvey et Ginsberg sont les initiateurs de la recherche à base de divergences en 1995. Ils proposent dans [2] la recherche à divergences limitées (LDS). L'objectif de LDS est de proposer le parcours d'un arbre de recherche en alternative à une procédure par séparation et évaluation (*branch-and-bound*), les techniques de backtracking et les techniques d'échantillonnage itératif (*iterative sampling*). Le principe de base derrière cette technique particulière est similaire à celui d'une recherche par voisinages. A partir d'une solution initiale de référence, on réalise des écarts, ou *divergences*, pour produire une solution de meilleure qualité. Une divergence traduit ainsi une contradiction du choix de l'heuristique d'instanciation ayant permis la génération de la solution de référence.

Depuis l'apparition de LDS, plusieurs stratégies d'exploration à base de divergences ont été introduites. Nous en examinons plus particulièrement deux dans la suite, dont nous tirons notre proposition.

A.1 Recherche à divergences limitées par la profondeur (DDS)

La Recherche à divergences limitées par la profondeur (*Depth-Bounded Discrepancy Search*, DDS) est proposée dans [11]. Développée dans le contexte des problèmes de satisfaction de contraintes, cette méthode est considérée comme une amélioration de LDS qui privilégie les divergences à un niveau haut de l'arbre. Walsh argumente sa

proposition par le postulat suivant : Les erreurs commises en bas de l'arbre n'ont pas une grande influence sur la qualité de la solution ; c'est plutôt les premières décisions prises qui ont un grand impact. De ce fait, DDS consiste à limiter la profondeur des niveaux à explorer.

A.2 Recherche par montée de divergences (CDS)

La recherche par montée de divergences (*Climbing Discrepancy Search*, CDS) apparue dans [5] est adaptée aux problèmes d'optimisation combinatoire. Cette méthode a été développée dans un contexte d'optimisation. CDS commence ainsi son exploration à partir d'une solution qui évolue dynamiquement au cours de la recherche. En effet, la méthode explore successivement les branches correspondant à un nombre de divergences croissant et dès qu'une solution améliorante est rencontrée, la solution de référence est mise à jour et le processus de recherche est réinitialisé.

B. Recherche par montée de divergences adjacentes limitées par la profondeur (CDADS)

Nous proposons la méthode CDADS (*Climbing Depth-bounded Adjacent Discrepancy Search*), obtenue par la combinaison d'une recherche à divergences limitées par la profondeur et d'une recherche par montée de divergences, à laquelle est adjointe la notion de divergences nécessairement adjacentes. Partant d'une solution de référence (*Sref*) obtenue par une heuristique, la méthode de recherche proposée explore progressivement son voisinage conformément au principe d'une recherche à divergences limitées par la profondeur. On fixe ainsi une profondeur d dans l'arbre jusqu'à laquelle il est possible de réaliser des divergences. A une itération i , nous ne tolérons que i divergences au-dessus du niveau d . De plus, nous exigeons que ces divergences soient effectuées de manière adjacente, c'est-à-dire qu'il n'y a pas d'alternance entre décision divergente et décision de l'heuristique ; en d'autres termes, s'il y a plusieurs divergences dans une branche, elles doivent toutes se suivre. Cette hypothèse d'adjacence limite considérablement l'espace de recherche. Nous considérons également que l'heuristique ayant permis la génération de la solution initiale est bonne, et qu'ainsi seul l'environnement immédiat d'une divergence peut "accueillir" l'occurrence d'une divergence supplémentaire. Nous obtenons donc une méthode DDS tronquée basée sur la notion de divergences adjacentes notée DADS (*Depth-bounded Adjacent Discrepancy Search*).

Dans ce qui suit, nous illustrons la variante DDS que nous proposons par un exemple (figure 1) sur un arbre binaire à trois variables. L'itération 0 met en évidence la solution recommandée par l'heuristique, qui, par convention, est obtenue par la branche la plus à gauche de l'arbre de recherche. Pour une première itération, nous n'autorisons qu'une seule divergence. Les numéros affichés sur les feuilles de l'arbre expriment l'ordre de visite de chaque solution. Une deuxième itération permet de descendre dans l'arbre pour explorer d'autres branches ayant deux divergences par rapport à la solution de référence et respectant la condition d'adjacence. Sur cette illustration la profondeur autorisée est de 3. Si, par contre, nous considérons une profondeur limite de 2 niveaux, certaines branches ne seront pas retenues ; précisément, les branches 4, 6 et 7 ne seront pas visitées par la méthode DADS. Cette notion

d'adjacence apparaît d'autant plus sur les arbres de taille importante. La méthode CDADS intègre le principe de la recherche DADS dans un contexte d'exploration par montée de divergences (CDS), dans la mesure où la solution de référence est mise à jour dès qu'une solution améliorante est rencontrée. DADS est donc relancée à nouveau sur cette solution, dont le voisinage est prometteur pour contenir une solution de meilleure qualité, voire une solution optimale.

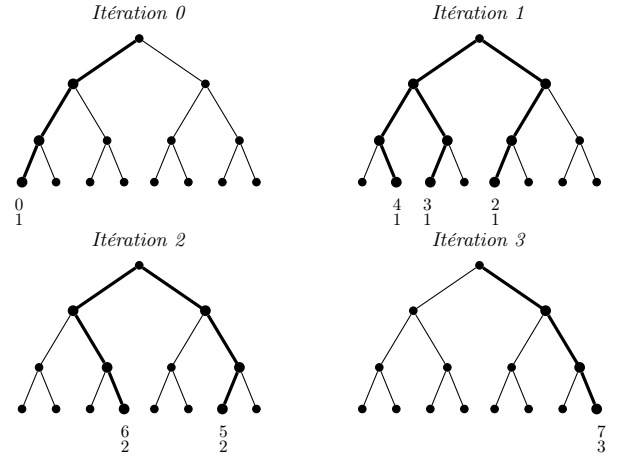


Fig. 1. Trace d'exécution de DADS

C. Heuristiques de génération de solution de référence

L'approche CDADS proposée s'appuie grandement sur la qualité de la solution de référence. Une telle propriété justifie davantage la condition d'adjacence et conditionne la qualité de la solution finale. Le choix de l'heuristique de départ s'est donc fondé sur une étude expérimentale qui nous a permis d'élire les heuristiques les plus adaptées au problème de FSH multiprocesseur. Partant des études présentées dans [7] et [10], les tests ont été initiés sur la base d'un ensemble de dix règles de priorité, pour en sélectionner au final les quatre plus performantes pour le problème étudié. Il s'agit de : SPT (*Shortest Processing Time*) et NSPT_LastStage (*SPT normalisée*) au dernier étage, SPR (*Shortest Processing Requirement*), Energie Croissante (l'énergie d'une opération j à un étage i étant égale à $p_{ij} \times size_{ij}$). La règle NSPT_LastStage est introduite dans [10] où les auteurs proposent de classer les jobs selon un ordre croissant des indices RI_j (Ranking Index) calculé ainsi :

$$RI_j = \frac{\max_k p_{mk} - p_{mj} + 1}{\max_k p_{mk} + 1}.$$

Les expérimentations ont utilisé des jeux-test disponibles sur le site web de Ceyda Oguz, http://home.ku.edu.tr/coguz/public_html/. Les règles retenues sont classées selon leur performance dans le tableau I. Cette performance est mesurée en pourcentage de meilleures solutions obtenues.

TABLE I
SÉLECTION DES HEURISTIQUES

Règle de priorité	Performance (%)
NSPT_LastStage	27
Énergie Croissante	25
SPT	17
SPR	14

D. Bornes inférieures

Afin de limiter l'exploration en élaguant des branches de l'arbre de recherche, nous intégrons un calcul de borne inférieure en chaque nœud. En s'inspirant des bornes présentées dans [6], nous proposons la formule suivante :

$$LB = \max(LB_s, LB_j)$$

Le premier terme est une borne basée étages : $LB_s = \max_{i=1..m} LB(i)$, où

$$LB(i) = \min_{j \in J} \left(\sum_{l=1}^{i-1} p_{lj} \right) + \max(M_1(i), M_2(i), \max_{j \in J}(p_{ij})) +$$

$$\min_{j \in J} \left(\sum_{l=i+1}^m p_{lj} \right), \text{ et}$$

$$M_1(i) = \left\lceil \frac{1}{m_i} \sum_{j \in J} p_{ij} size_{ij} \right\rceil$$

$$M_2(i) = \sum_{j \in A_i} p_{ij} + \frac{1}{2} \sum_{j \in B_i} p_{ij}$$

avec $A_i = \{j | size_{ij} > \frac{m_i}{2}\}$, $B_i = \{j | size_{ij} = \frac{m_i}{2}\}$.

LB_j est une borne basée jobs telle qu'elle se présente dans [6] : $LB_j = \max_{j \in J} \left(\sum_{i=1}^m p_{ij} \right)$.

IV. RÉSULTATS EXPÉRIMENTAUX

A. Environnement d'expérimentations et conditions de tests

Pour assurer une finalité de comparaison entre la méthode que nous proposons, CDADS, et celles introduites dans la littérature, nous proposons de tester les performances de CDADS sur des jeux de données présentés par Oguz et al. en 2004. Ces benchmarks sont largement utilisés dans la littérature [4], [8], [9]. Les différentes instances objet du test, peuvent avoir un nombre de jobs $n = 5, 10, 20, 50, 100$ alors que m , le nombre d'étages de l'atelier prend sa valeur dans l'ensemble $\{2, 5, 8, 10\}$. Deux types de problèmes particuliers sont disponibles : 'Type-1' et 'Type-2'. Le nombre de processeurs dans un problème de 'Type-2' est fixé à 5 sur tous les étages (pour un étage, on a $m_i = 5, \forall i = 1..m$). Les instances 'Type-1', ont quant à elles une configuration de machines variable avec $m_i = 1, \dots, 5$. Pour chaque combinaison de n et m , 10 instances sont générées et ceci pour chaque type de problème. Pour les différentes instances, la durée d'exécution d'une opération (p_{ij}) et la quantité de ressources requise par un job j sur un étage i ($size_{ij}$) sont générées aléatoirement et prennent respectivement leurs valeurs dans les

ensembles $\{1, \dots, m_i\}$ et $\{1, \dots, 100\}$. Ainsi, les batteries de tests envisagées sont menées sur un ensemble de 300 instances.

La technique CDADS est codée en C++. Les expérimentations sont réalisées sur un PC Intel Centrino 2 Duo 2 GHz avec 4 GB de mémoire vive. Le temps maximum alloué à la recherche est de 60 secondes. La convergence vers une solution optimale arrête l'exécution ; dans le cas contraire, on retourne la meilleure solution obtenue à épuisement du temps CPU.

Notre étude expérimentale est fondée sur une batterie de tests que nous avons menés et dont nous synthétisons ci-après les résultats.

B. Performance de CDADS

Nous avons testé deux stratégies liées à la priorisation du positionnement des divergences dans l'arbre de recherche. Nous envisageons ainsi une stratégie *Top First* en développant les divergences de CDADS par le haut de l'arbre et une stratégie *Bottom First* où ces divergences sont appliquées en partant du bas de l'arbre. Les expérimentations prouvent que CDADS est nettement plus efficace avec une stratégie de type Top First. Ainsi, nous ne retenons que les résultats mettant en œuvre cette stratégie.

Les deux premières colonnes du tableau II correspondent au type de configuration des instances (n : nombre de jobs et m : nombre d'étages). La mesure *Avg %dev* illustre la moyenne du pourcentage de déviation. Cette déviation est calculée comme suit :

- pour les instances où la solution optimale est inconnue : $\frac{C_{\max} - LB}{LB} \times 100$;
- pour les instances où la solution optimale est connue : $\frac{C_{\max} - C_{\max}^*}{C_{\max}^*} \times 100$.

On considère, pour chaque instance, la meilleure solution donnée (parmi les quatre heuristiques : SPT, SPR, Énergie Croissante et SPT normalisée), la moyenne des déviations (en %) et la moyenne de temps CPU (en secondes). Pour chaque instance, nous exploitons la propriété de symétrie entre le problème FSH multiprocesseur et son inverse (inversion du sens de la gamme, le dernier étage devenant le premier, le premier devenant le dernier, etc.).

Ces résultats mettent en évidence le comportement de CDADS en fonction du nombre de jobs n , le nombre d'étages m et le nombre de processeurs sur un étage i (m_i).

L'augmentation de m_i , autrement dit le passage d'une configuration de machines 'Type-1' à une configuration 'Type-2' est marqué par une augmentation des déviations. Globalement, les problèmes de 'Type-1' ont une déviation moyenne de 1.66% face à une moyenne de 6.39% pour les problèmes 'Type-2' (avant-dernière ligne du tableau II). Cela peut être interprété par l'une des hypothèses suivantes :

1. la dégradation de la borne inférieure utilisée, qui reste fortement liée à la grandeur m_i , dégrade les déviations lorsque m_i augmente ;
2. l'efficacité de la méthode CDADS est moindre sur des instances caractérisées par une grande flexibilité ($m_i = 5, \forall i = 1..m$).

TABLE II
PERFORMANCE DE CDADS

n	m	Problèmes ‘Type-1’		Problèmes ‘Type-2’	
		Avg %dev	CPU (s)	Avg %dev	CPU (s)
5	2	0	0	0	0
	5	0.21	0	0.46	0
	8	1.71	0	0.5	0
10	2	0	0	1.72	0
	5	0.66	0.4	6.44	0
	8	8.47	0	9.61	0.2
20	2	0.05	0.1	3.34	3.1
	5	2.57	1.1	7.97	1.3
	8	5.11	0.2	15	1.3
50	2	0.49	2.3	1.74	4.2
	5	0.54	5	8.2	13.5
	8	1.62	6.8	12.42	33.4
100	2	0.08	11.1	3.32	22.8
	5	1.5	13.6	10.75	40.9
	8	1.86	11	14.33	47.3
<i>Moyenne</i>		1.66	3.44	6.78	10.53

Selon ces résultats, le nombre d’étages m conditionne le degré de déviation : l’augmentation de m s’accompagne par une augmentation des déviations. En effet, la distance entre la solution obtenue et la borne inférieure, voire la solution optimale, grandit avec la difficulté du problème qui elle-même croît avec l’augmentation du nombre d’étages considéré.

En ce qui concerne le nombre de jobs n , nous constatons que sa variation n’a pas un effet significatif sur la déviation.

Le tableau II illustre parfaitement les performances de notre méthode en termes de temps CPU. La limite CPU est fixée à 60 secondes et la moyenne de temps CPU varie entre 0 secondes et 47.3 secondes. La variation de temps CPU entre les problèmes ‘Type-1’ et les problèmes ‘Type-2’ confirment la complexité de ces derniers. De même, pour un nombre d’étages fixé m , quand n croît, CDADS prend plus de temps pour converger. Inversement, pour n fixé, lorsque m augmente la consommation en termes de temps CPU augmente. Exceptionnellement, les instances relatives à $n = 20$ échappent à cette règle. Ceci est dû à une valeur aberrante de 3.1% qui correspond en réalité à une moyenne entre 9 valeurs nulles (CPU vaut 0 secondes sur 9 instances) et une valeur de 30 secondes.

C. Comparaison entre CDADS et les méthodes de la littérature

Les résultats obtenus sont comparés par rapport à ceux fournis par certaines méthodes de la littérature. Nous nous limitons aux approches proposées par [4] qui, à notre connaissance, sont les plus récentes. La première méthode mise en œuvre dans [4] est une implémentation d’un algorithme génétique semblable à celui de [6]. Une approche dite CP intègre une procédure par séparation et évaluation dans un schéma de programmation par contraintes. Enfin, les auteurs proposent un algorithme mémétique qui utilise l’algorithme génétique pour assurer la recherche

de meilleures séquences et exploite une propagation de contraintes pour trouver les ordonnancements correspondants. Nous ignorons les résultats publiés par Ercan et *al.* en 2006 compte tenu de certaines incohérences que nous avons relevées. Dans tout ce qui suit, nous confrontons nos résultats à ceux de [4]. Cependant, nous ne retenons pas les moyennes de déviation qui y sont publiées, en raison d’erreurs et d’incohérences encore détectées (provenant des erreurs initiales faites par Ercan). Nous recalculons ainsi ces mesures sur une nouvelle base de bornes inférieures (LB) éliminant ainsi tout impact des valeurs de LB d’Ercan sur les mesures analytiques de [4]. Le temps CPU maximum accordé dans les différents algorithmes par rapport auxquels nous menons l’étude comparative est de 900 secondes par instance.

Dans une première partie, nous comparons les différentes méthodes en termes de qualité de solutions en exploitant les mesures de déviations (voir tableau III). Notre méthode trouve tout son intérêt en comparant ses résultats avec ceux de l’algorithme génétique. CDADS surpasse AG dans 27 configurations (n,m) parmi 30. De plus, pour les configurations où AG s’avère meilleur, les performances de CDADS sont assez proches de celles de AG. Globalement, notre méthode se distingue aussi bien pour les problèmes de ‘Type-1’ que ceux de ‘Type-2’ : une déviation moyenne de 1.66% (CDADS) face à 2.27 % (AG) pour les instances de ‘Type-1’ et une déviation moyenne de 6.39% (CDADS) contre 8.32% (AG) pour les instances de ‘Type-2’.

L’analyse des performances de CDADS par rapport à l’approche CP révèle l’efficacité de notre méthode, en particulier sur les instances de grande taille (à partir de 20 jobs et indépendamment du nombre d’étages m et de la configuration des machines m_i). L’amélioration de la déviation moyenne apparaît d’autant plus sur les instances de ‘Type-2’. Ainsi, notre méthode semble adaptée à des instances qui sont à la fois de grande taille et de flexibilité importante. Pour les instances de petite taille, notamment $n = 5$ et $n = 10$, l’approche CP surpasse CDADS. Nous envisageons d’améliorer les performances de CDADS en suivant certaines pistes qui seront développées dans la partie suivante. Cependant, dans l’ensemble, CDADS offre des résultats meilleurs : sa déviation moyenne est strictement inférieure à la moitié de la déviation moyenne de CP (1.66% face à 5.39%) sur les problèmes de ‘Type-1’ et est presque égale à la moitié sur les problèmes de ‘Type-2’ (6.39% face à 11.92%).

La dernière phase de l’étude comparative s’intéresse à l’algorithme mémétique de [4]. Nous confirmons, à quelques exceptions près, le comportement efficace de CDADS sur les grandes instances (au-delà de $n = 10$) et quelques insuffisances sur les petites instances (pour $n = 5$ et $n = 10$). En outre, la déviation moyenne obtenue par CDADS est de l’ordre de 1.66% alors que celle donnée par l’algorithme mémétique vaut 1.6% (pour les instances de ‘Type1’). Pour les instances de ‘Type2’, le degré d’efficacité est inversé car CDADS offre une moyenne de déviation égale à 6.39% contre 7.28%.

En termes de qualité de solutions, nous mettons l’accent sur le fait que CDADS arrive à améliorer toutes les meilleures solutions connues (instance par instance) pour $n = 100$ (appartenant à ‘Type-1’ ou à ‘Type-2’) et $n = 50$

(uniquement pour les instances ‘Type-2’). Cette constatation vient consolider notre conclusion sur l’efficacité de

CDADS sur les grandes instances.

TABLE III
COMPARAISON DES MOYENNES DE POURCENTAGE DE DÉVIATION ET DES TEMPS CPU

		Problèmes ‘Type-1’				Problèmes ‘Type-2’			
n	m	$CDADS$	MA	CP	GA	$CDADS$	MA	CP	GA
5	2	0	0.29	0	0	0	1.23	0	0
	5	0.21	1.35	0	0	0.46	1.44	0	0
	8	1.71	4.15	0	0	0.5	2.38	0	0
10	2	0	0	0	0	1.72	2.83	1.72	1.75
	5	0.66	1.64	0	0	6.44	7.8	6.1	5.67
	8	8.47	9.38	10.32	8.02	9.61	10.87	8.37	8.8
20	2	0.05	0.44	2.59	0.66	3.34	3.7	6.72	3.43
	5	2.57	3.49	10.85	2.78	7.97	9.57	22.86	9.57
	8	5.11	5.69	17.98	5.32	15	17.26	28.52	16.02
50	2	0.49	0.63	2.79	0.49	1.74	2.76	6.54	2.21
	5	0.54	0.59	5.3	0.51	8.2	10.95	20.01	10.32
	8	1.62	2.17	14.42	1.71	12.42	15.89	30.06	17.25
100	2	0.08	0.15	1.96	0.07	3.32	3.05	5.68	2.7
	5	1.5	2.15	5.19	2.33	10.75	14.95	19.13	14.37
	8	1.86	1.99	9.47	2.15	14.33	20.06	23.15	17.83
<i>Avg %dev</i>		1.66	1.6	5.39	3.26	6.39	7.28	11.92	9.1
<i>CPU (s)</i>		3.44	879.93	320.3	326.01	10.53	879.08	423.09	511.27

Dans un deuxième temps, les performances en termes de CPU sont examinées (voir dernière ligne du tableau III). La nature de la méthode CDADS basée essentiellement sur une recherche arborescente limitée par le nombre de divergences la positionne en tête de toutes les méthodes étudiées. En effet, elle assure ses résultats en une moyenne de temps CPU variant entre 0 secondes, pour $n = 5$, et 47.8 secondes pour les instances les plus difficiles ($n = 100, m = 8, m_i = 5$) face à un intervalle de [0.7 sec ; 900 sec] pour l’algorithme mémétique. Les différentes méthodes objet de comparaison n’ont toutefois pas été implémentées sur le même type d’ordinateur ; le calcul du coefficient de normalisation adéquat suivant les tables de Dongarra [1] confirme néanmoins nos conclusions, puisque le rapport entre les performances théoriques des deux machines serait de l’ordre de 3.42 seulement.

V. CONCLUSION

Dans cet article, nous proposons une méthode de recherche arborescente basée sur la notion de divergences pour la résolution du problème d’ordonnement de type flow shop multiprocesseur. La particularité de notre méthode est basée sur une caractéristique d’adjacence sur les divergences réalisées. Nous présentons des heuristiques pour la génération de la solution de référence, ainsi que des bornes inférieures permettant de restreindre l’espace de recherche des solutions. Comparée à l’état de l’art, notre méthode s’avère supérieure en termes de qualité de solution

obtenue et de temps de résolution.

Une perspective à court terme de ce travail est d’évaluer la méthode sur les problèmes plus simples de flow shop hybride généraux ($size_{ij} = 1, \forall i, j$) pour lesquels de nombreux travaux existent. A plus long terme, une piste prometteuse concerne l’application de ce type de méthode à des problèmes plus généraux tels que le problème d’ordonnement de projet à moyens limités (RCPSP) dont la résolution reste actuellement un des challenges majeurs en ordonnancement pour des problèmes de taille importante. Cette extension devrait sans doute passer par la mise en place de mécanismes additionnels à la méthode, tels qu’une procédure *multi-start* permettant de repartir d’une nouvelle solution de référence si une amélioration de la solution n’est pas très rapidement trouvée, ou la définition de nouvelles bornes inférieures.

RÉFÉRENCES

- [1] J. Dongarra. Performance of various computers using standard linear equations software. Technical report, University of Tennessee, 2009.
- [2] W.D. Harvey and M.L. Ginsberg. Limited discrepancy search. In *Proceedings of the 14th International Joint Conference on Artificial Intelligence (IJCAI’95)*, volume 1, pages 607–615, Montréal, Québec, Canada, August 1995.
- [3] A. Ben Hmida, M.-J. Huguet, P. Lopez, and M. Haouari. Climbing depth-bounded discrepancy search for solving hybrid flow shop scheduling problems. *European Journal of Industrial Engineering*, 1(2) :223–243, 2007.
- [4] A. Jouglet, C. Oguz, and M. Sevaux. Hybrid flow-shop: a memetic algorithm using constraint-based scheduling for efficient

- search. *Journal of Mathematical Modelling and Algorithms*, 8 :271–292, 2009.
- [5] M. Milano and A. Roli. On the relation between complete and incomplete search : an informal discussion. In *Proceedings of the 4th International Workshop on Integration of AI and OR techniques in Constraint Programming for Combinatorial Optimization Problems (CP-AI-OR'02)*, page 237–250, Le Croisic, France, 2002.
- [6] C. Oguz and M.F. Ercan. A genetic algorithm for hybrid flow-shop scheduling with multiprocessor tasks. *Journal of Scheduling*, 8 :323–351, 2005.
- [7] C. Oguz, M.F. Ercan, T.C.E. Cheng, and Y.F. Fung. Heuristic algorithms for multiprocessor task scheduling in a two stage hybrid flow shop. *European Journal of Operational Research*, 149 :390–403, 2003.
- [8] C. Oguz, Y.Zinder, V. Ha Do, A. Janiak, and M. Lichtenstein. Hybrid flow shop scheduling problems with multiprocessor task systems. *European Journal of Operational Research*, 152 :115–133, 2004.
- [9] F.S. Serifoglu and G. Ulusoy. Multiprocessor task scheduling in multistage hybrid flow-shops : A genetic algorithm approach. *European Journal of Operational Research*, 55(5) :504–512, May 2004.
- [10] F.S. Serifoglu and G. Ulusoy. Multiprocessor task scheduling in multistage hybrid flow-shops : an ant colony system approach. *International Journal of Production Research*, 44(16) :3161–3177, 2006.
- [11] T. Walsh. Depth-bounded discrepancy search. In *Proceedings of the 15th International Joint Conference on Artificial Intelligence (IJCAI'97)*, volume 2, page 1388–1395, Nagoya, Japan, August 1997.